

Стохастические свойства в модели гликолиза

Панкратов Александр

Научный руководитель: к. ф.-м. н., доц. Башкирцева И.А.

Институт естественных наук и математики

2017

Гликолитический осциллятор Хиггинса

$$\begin{cases} \dot{x} = 1 - xy \\ \dot{y} = py \left(x - \frac{1+q}{q+y} \right) \end{cases} \quad p > 0, q > 0.$$

Система нелинейных дифференциальных уравнений моделирующая процесс гликолиза. Предложена Хиггинсом в 1964г.

Точки покоя системы

Единственной точкой покоя системы является $(1, 1)$, при любых значениях p и q . Для исследования поведения в окрестности точки покоя построим линеаризованную систему:

$$\begin{cases} \dot{\tilde{x}} = -\tilde{x} - \tilde{y} \\ \dot{\tilde{y}} = p\tilde{x} + p\left(1 - \frac{q}{1+q}\right)\tilde{y} \end{cases}.$$

Её матрица имеет вид:

$$A = \begin{pmatrix} -1 & -1 \\ p & 1 - \frac{q}{1+q} \end{pmatrix}.$$

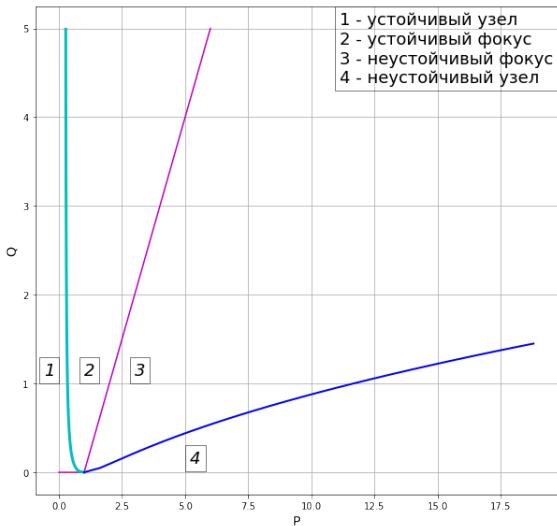
Фазовые портреты в окрестности точки покоя

Собственные числа матрицы A , имеют вид:

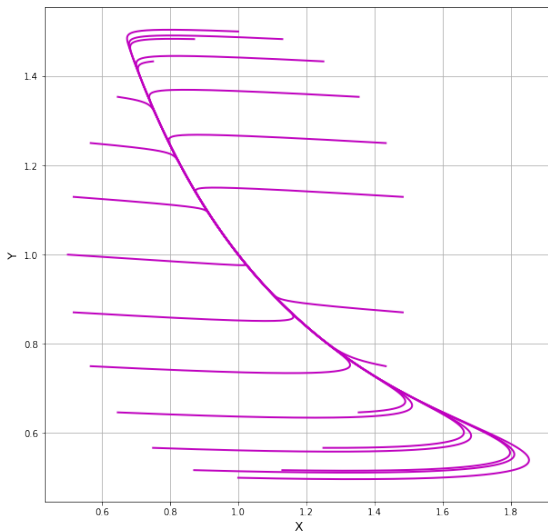
$$\lambda_{1,2} = \left(\left(p - 1 - p \frac{q}{1+q} \right) \pm \sqrt{\left(1 - p + p \frac{q}{1+q} \right)^2 - 4p \frac{q}{1+q}} \right) / 2,$$

что позволяет определить тип фазового портрета в окрестности $(1, 1)$ и построить бифуркационную диаграмму.

Бифуркационная диаграмма

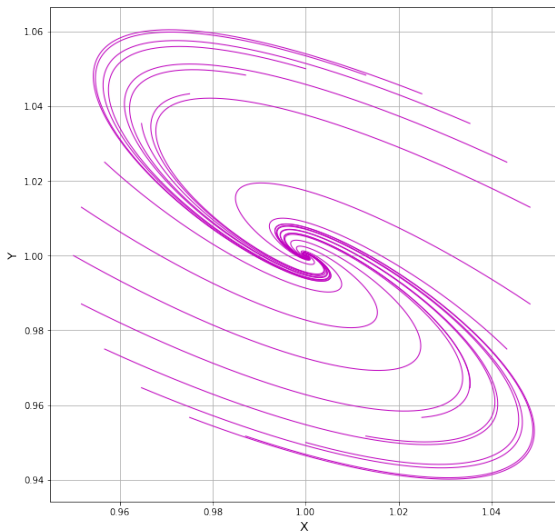


Примеры фазовых портретов



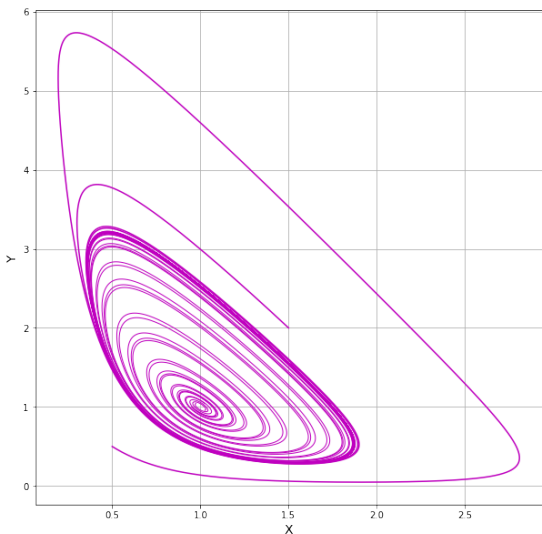
Устойчивый узел, $p=0.05$, $q=1$

Примеры фазовых портретов



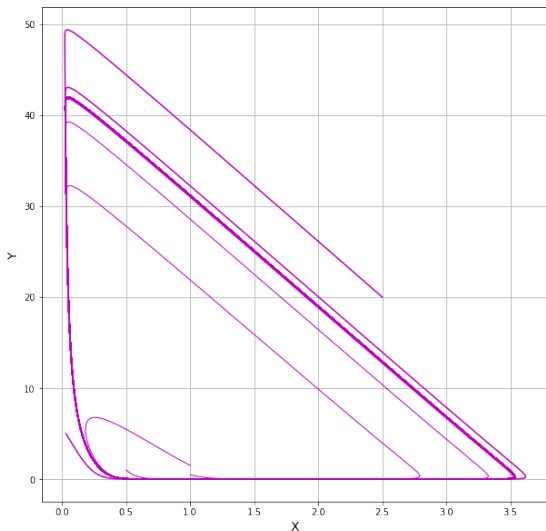
Устойчивый фокус, $p=0.7$, $q=1$

Примеры фазовых портретов



Неустойчивый фокус, $p=2.5$, $q=1$

Примеры фазовых портретов

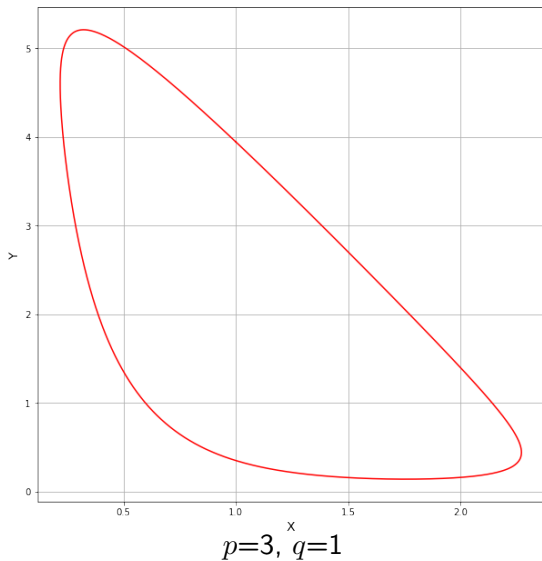


Неустойчивый узел, $p=12.5$, $q=1$

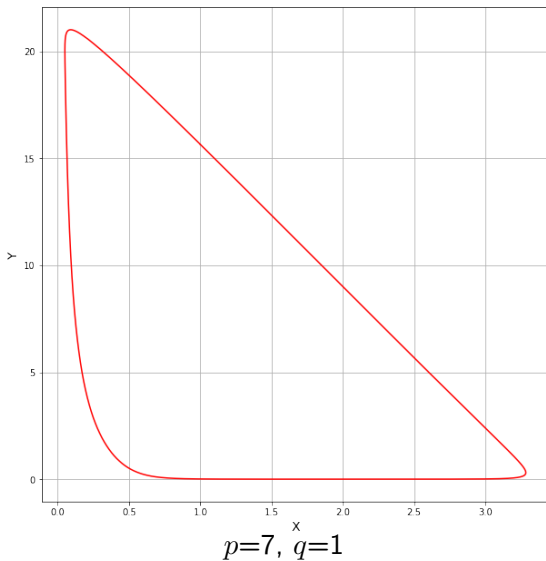
Предельные циклы

В случаях, когда фазовый портрет системы неустойчив, на фазовой плоскости присутствуют предельные циклы. Их размер и форма изменяются в зависимости от параметров p и q , также представляет интерес вопрос об их устойчивости. Предельные циклы могут быть найдены с некоторой наперед заданной точностью

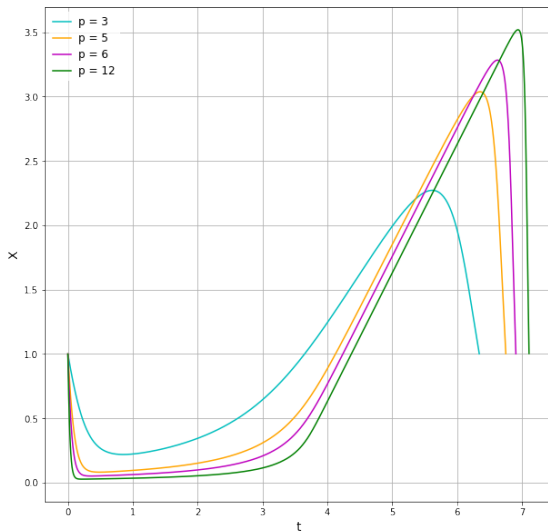
Пример предельного цикла



Пример предельного цикла

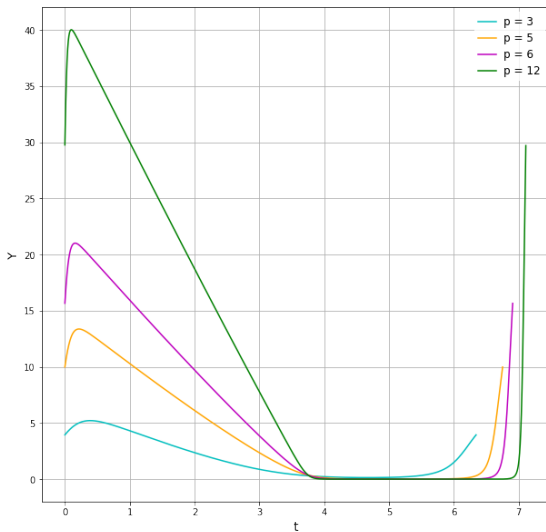


Пример предельного цикла



Временные ряды для переменной x , при $q=1$

Пример предельного цикла



Временные ряды для переменной y , при $q=1$

Устойчивость предельных циклов

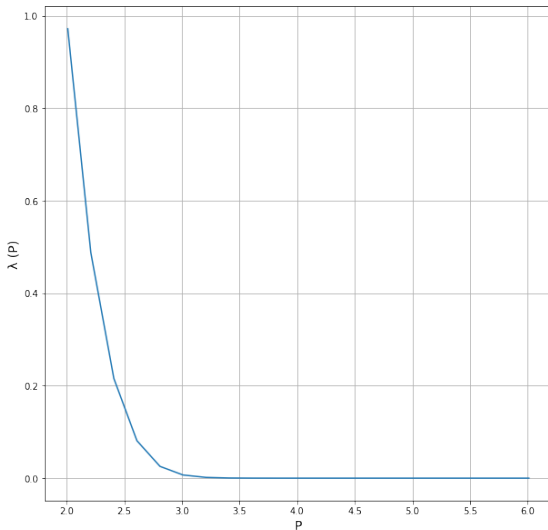
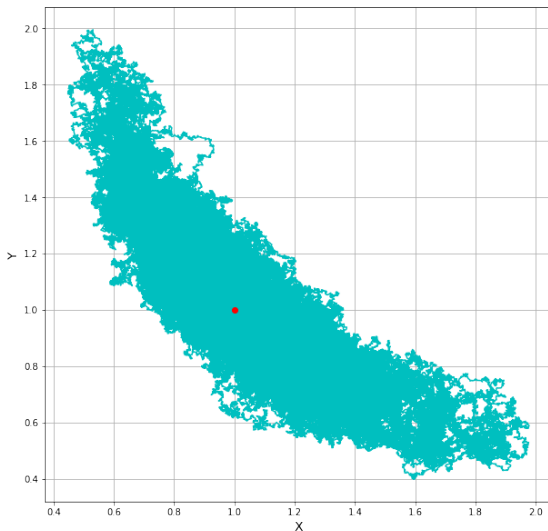


График мультипликатора $\lambda(p)$

Стохастические свойства модели

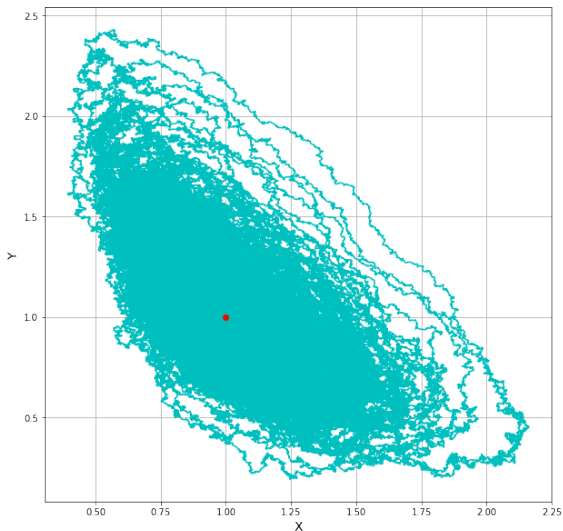
Для дальнейшего исследования свойств модели внесем в её поведение случайные возмущения вида $\varepsilon\sqrt{h}\xi$, где ξ — нормально распределённая случайная величина, h — шаг численного метода, ε — положительное число, коэффициент, регулирующий интенсивность возмущений.

Возмущения в окрестности устойчивой точки покоя



Возмущенная траектория $N=0.1$, $p=0.2$, $q=1$

Возмущения в окрестности устойчивой точки покоя

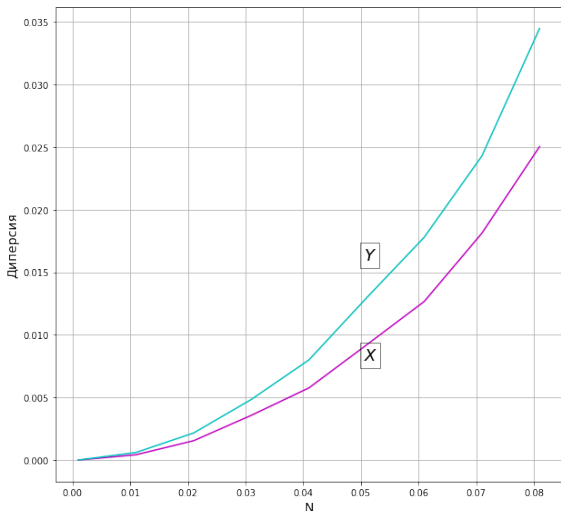


Возмущенная траектория $N=0.1$, $p=1.4$, $q=1$

Дисперсия возмущенной траектории

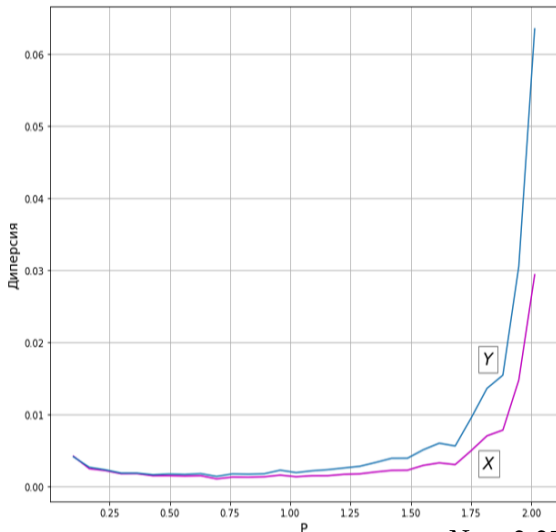
В качестве характеристики поведения возмущённой траектории вблизи устойчивой точки покоя представляет интерес среднеквадратичное отклонение точек траектории от их математического ожидания, которое, заметим, почти совпадает с точкой покоя.

Дисперсия возмущенной траектории



Зависимость дисперсии от интенсивности шума, $p=0.2$, $q=1$

Дисперсия возмущенной траектории



Зависимость дисперсии от параметра p , $N = 0.05$, $q = 1$

Функция стохастической чувствительности

Функция стохастической чувствительности, далее ФСЧ, позволяет судить о восприимчивости аттрактора системы к случайным возмущениям. ФСЧ точки покоя представляет собой неотрицательное вещественное число, ФСЧ предельного цикла является периодической функцией времени $W(t)$, период которой T совпадает с периодом решения системы, являющегося предельным циклом.

ФСЧ точки покоя

$$\dot{x} = f(x),$$

$$\dot{x} = f(x) + \varepsilon \sigma(x) \xi(t),$$

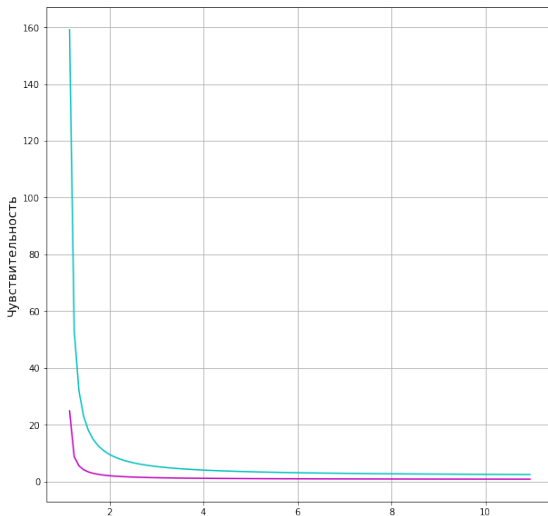
$$FW + WF^T = -S, F = \frac{\partial f}{\partial x}(\bar{x}), S = GG^T, G = \sigma(\bar{x}).$$

$$w_{12} = (-p^2 - pq^2 - pq - q^2 - 2q - 1)/(2qp(p - q - 1))$$

$$w_{12} = w_{21} = (p^2q + p^2 + q^2 + 2q + 1)/(2qp(p - q - 1))$$

$$w_{22} = -((q + 1)(p^2q + p^2 + pq + q + 1))/(2qp(p - q - 1)).$$

ФСЧ точки покоя



Зависимость ФСЧ от q , $p=2.1$

ФСЧ предельного цикла

Для случая, когда аттрактором является T -периодическое решение системы, задающее предельный цикл $\gamma(t)$, уравнение для W в условиях нашей системы можно записать как:

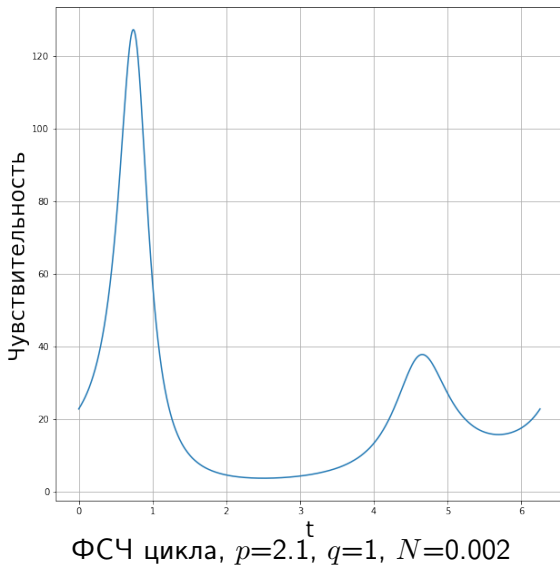
$$W(t) = \mu(t)P(t)$$

$$\dot{\mu} = a(t)\mu + b(t), \mu(0) = \mu(T)$$

$$a(t) = p^T(t)(F^T(t) + F(t))p(t), b(t) = p^T(t)S(t)p(t),$$

где $p(t)$ - нормализованный нормальный вектор к $f(\gamma(t))$, а $P(t) = pp^T$.

ФСЧ предельного цикла

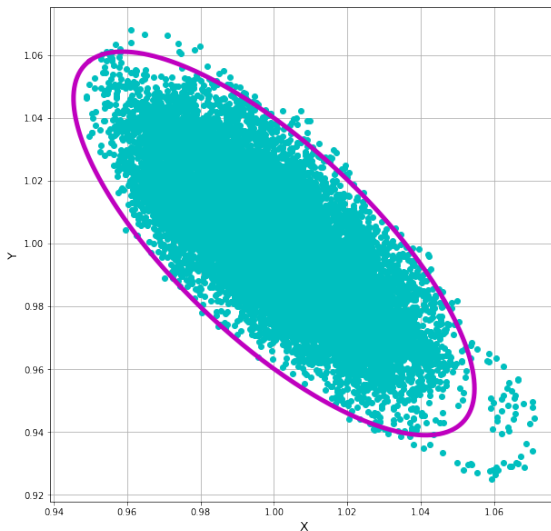


Доверительный эллипс и доверительная полоса

Доверительный эллипс строится для устойчивой точки покоя на основе ФСЧ и позволяет ограничить на фазовой плоскости такую её окрестность U , что точка с траектории с начальными условиями из U будет принадлежать этой окрестности с заданной наперед вероятностью при данном уровне шума.

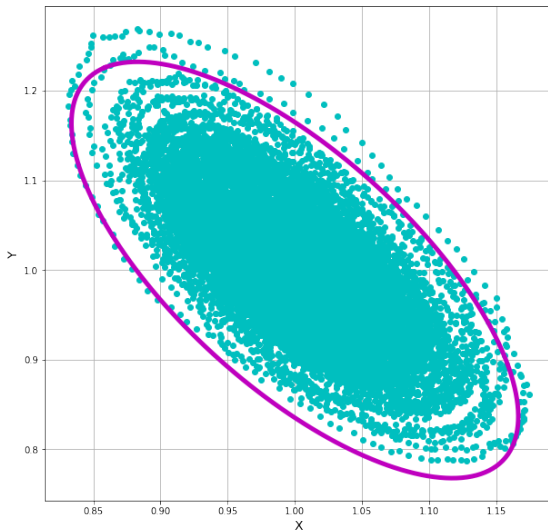
Доверительная полоса - это аналог доверительного эллипса для случая, когда аттрактором системы выступает устойчивый предельный цикл.

Доверительный эллипс



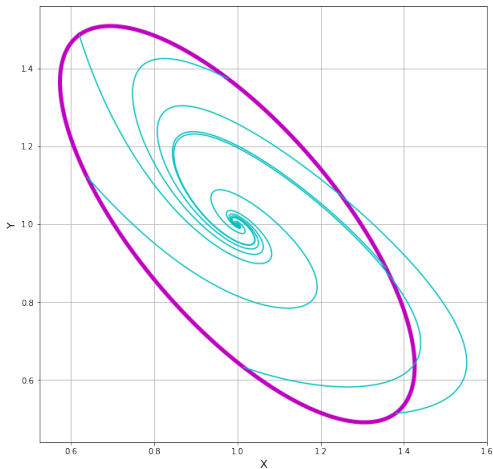
Доверительный эллипс и траектория, $p=0.7$, $q=1$, $N=0.01$

Доверительный эллипс



Доверительный эллипс и траектория, $p=1.9$, $q=1$, $N=0.01$

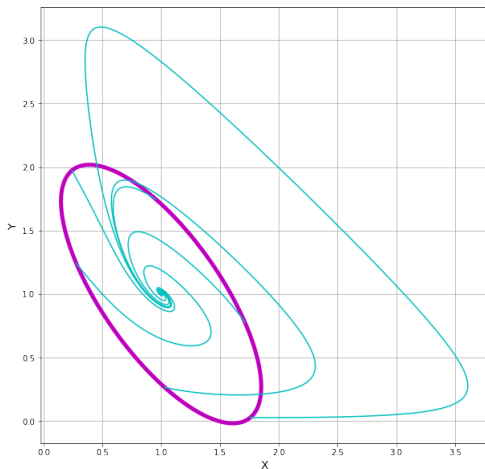
Доверительный эллипс



Доверительный эллипс и детерминированные траектории, $p=1$,

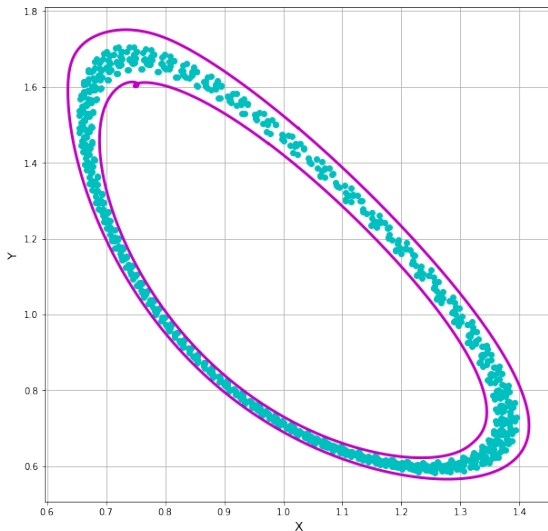
$q=1$, $N=0.075$

Доверительный эллипс



Доверительный эллипс и детерминированные траектории, $p=1$,
 $q=1$, $N=0.15$

Доверительная полоса



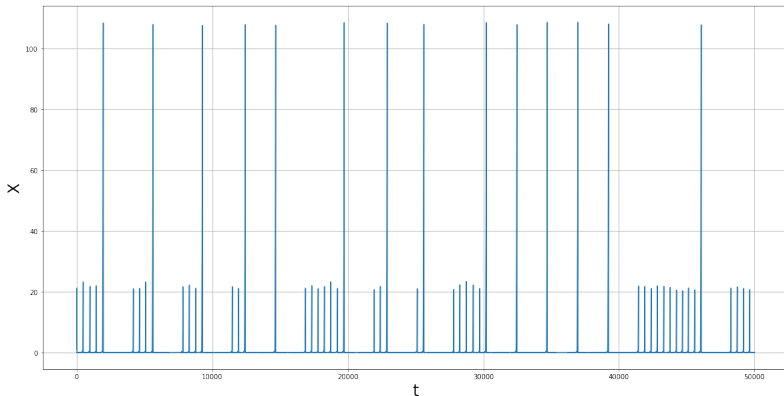
Доверительная полоса и траектория, $p = 2.1$, $q = 1$, $N = 0.002$

Индукцированные шумом осцилляции

При значении параметра $p=2.1$ и $q \in [0.01, 0.12]$ в поведении системы наблюдаются индуцированные шумом осцилляции.

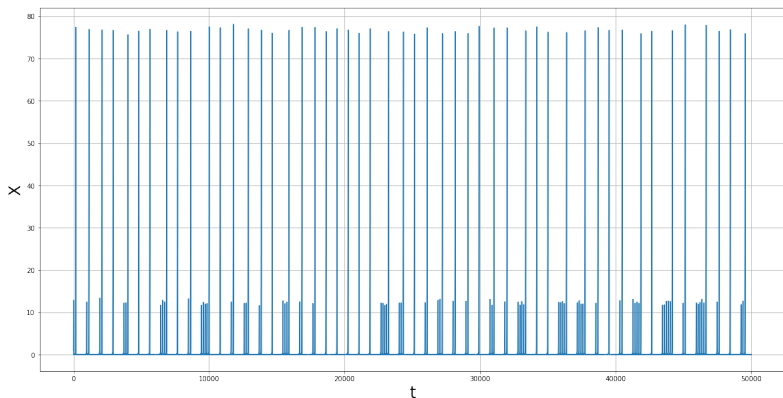
При внесении шума порядка 0.002 помимо осцилляций в окрестности детерминированного цикла для данных значений параметров, наблюдаются осцилляции по большому циклу, причем отношение количества осцилляций по большому циклу к общему числу осцилляций меняется в зависимости от значения параметра q , увеличиваясь при его увеличении.

Индукцированные шумом осцилляции



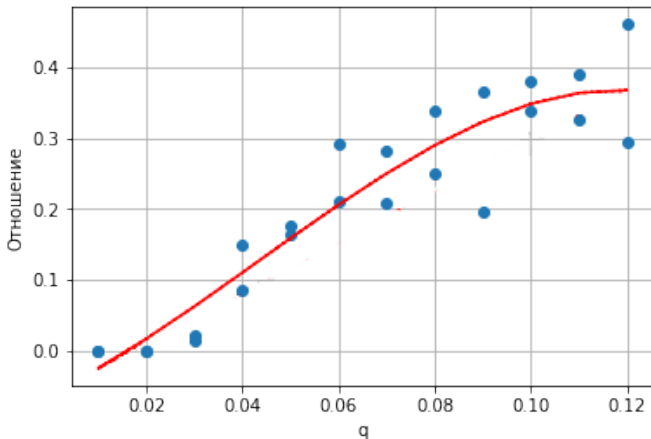
Временной ряд по переменной x , $p = 2.1$, $q = 0.05$, $N = 0.002$

Индукцированные шумом осцилляции



Временной ряд по переменной x , $p = 2.1$, $q = 0.1$, $N = 0.002$

Индукцированные шумом осцилляции

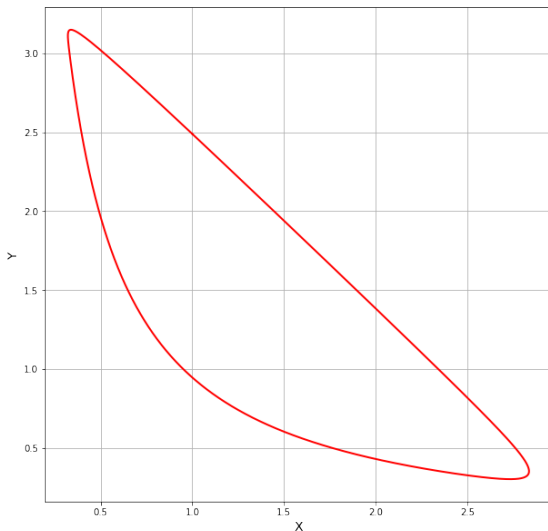


Отношение числа больших осцилляций к числу всех
осцилляций $p = 2.1$, $N = 0.002$

Область аномальной стохастической чувствительности

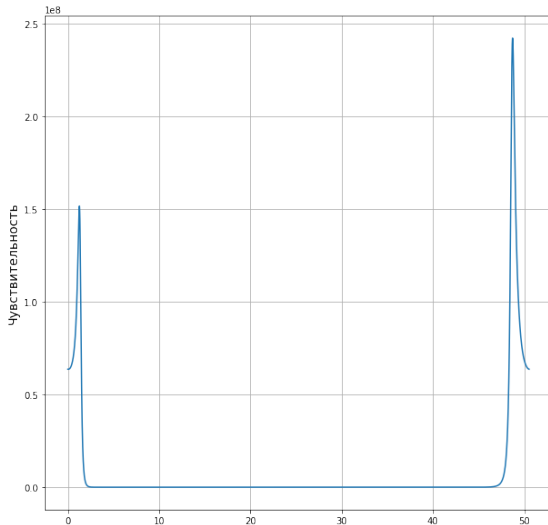
При значении параметра $q=0.1$ и $p \in [1.1333309, 1.133331]$ наблюдаются большие значения функции стохастической чувствительности и, соответственно, чувствительность к шумам. Так, амплитуды предельных циклов для детерминированных траекторий, построенных при $q=0.1$, $p=1.1333309$ и $q=0.1$, $p=1.133331$ различаются в четыре раза.

Область аномальной стохастической чувствительности



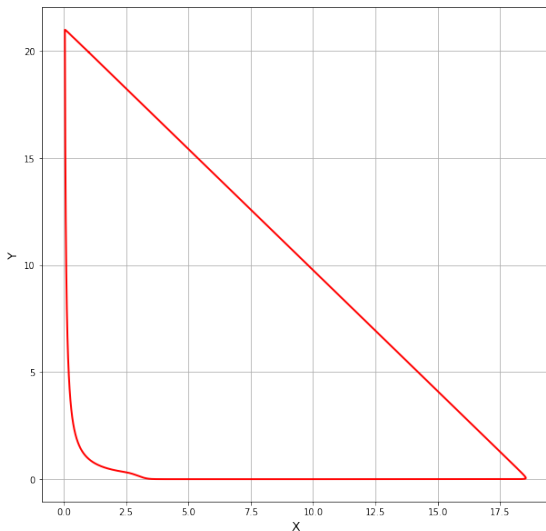
Детерминированный цикл $q=0.1$, $p=1.1333309$

Область аномальной стохастической чувствительности



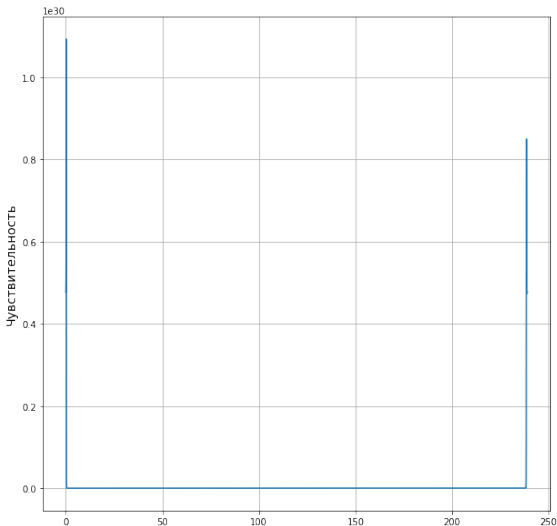
ФСЧ цикла, $p=1.1333309$, $q=0.1$, $N=0.00001$

Область аномальной стохастической чувствительности



Детерминированный цикл $q=0.1$, $p=1.133331$

Область аномальной стохастической чувствительности



ФСЧ цикла, $p=1.133331$, $q=0.1$, $N=0.00001$

Спасибо за внимание!